

# КОГЕРЕНТНО ПРЕЦЕССИРУЮЩАЯ СПИНОВАЯ СТРУКТУРА В НОРМАЛЬНОЙ ФЕРМИ-ЖИДКОСТИ

*В.В.Дмитриев, И.А.Фомин*

*Институт физических проблем им. П.Л.Капицы РАН  
117334 Москва, Россия*

Поступила в редакцию 3 февраля 1994 г.

Для нормальной ферми-жидкости в бесстолкновительной области найдено решение уравнений спиновой динамики, описывающее когерентно прецессирующую в слабонеоднородном магнитном поле спиновую структуру. Структура возникает вследствие ферми-жидкостного взаимодействия и состоит из двух доменов. В одном из доменов намагниченность параллельна полю, а в другом – антипараллельна. Численно продемонстрирована устойчивость структуры и прослежена эволюция решения из разных начальных состояний.

## 1. Введение

Ранее было показано, что возможность обратимого переноса спина конденсатом куперовских пар делает динамику спина в сверхтекучих фазах гелия-3 нелокальной, то есть движение спина в некотором объеме гелия зависит от распределения магнитного поля во всем объеме и от граничных условий. В частности, в  $^3\text{He-B}$  в условиях импульсного ЯМР уже слабая неоднородность поля приводит к образованию двухдоменной когерентно прецессирующей структуры с аномально большим временем жизни [1, 2].

Недавно, при экспериментальном исследовании поляризованных растворов  $^3\text{He}$  в  $^4\text{He}$  импульсным методом ЯМР также наблюдался аномально долго живущий сигнал индукции [3]. Сигнал создавался прецессией спинов атомов  $^3\text{He}$ , образующих в растворе нормальную ферми-жидкость. В бесстолкновительном пределе в нормальной ферми-жидкости спиновый ток имеет недиссипативную компоненту, что приводит к ряду специфических для ферми-жидкости явлений – это силлинские волны [4], эффект Леггетта и Райса [5, 6], многократное спиновое эхо [7].

Упомянутая выше аномалия в работе [3] наблюдалась в бесстолкновительной области и для ее объяснения в той же работе была проделана численная симуляция с использованием уравнений Леггетта [6]. Результаты симуляции указывают на возможность образования в растворе, помещенном в слабо неоднородное магнитное поле, долгоживущей прецессирующей структуры, состоящей из двух доменов, что по-видимому, и объясняет полученный результат. На образование доменов указывает также численная симуляция экспериментов по наблюдению нелинейных спиновых волн в растворах  $^3\text{He}$  в  $^4\text{He}$  [8].

Для более полного исследования условий образования когерентно прецессирующей структуры, а также свойств такой структуры и их зависимости от внешних параметров, в настоящей работе использована комбинация аналитического и численного решений уравнений Леггетта. В пределе бесконечного времени  $\tau$  между соударениями квазичастиц для изолированного объема гелия, находящегося в слабонеоднородном магнитном поле, аналитически найдено стационарное решение, имеющее вид двухдоменной спиновой структуры. Структура прецессирует с постоянной для всего объема фазой. При больших,

но конечных  $\tau$  найден закон релаксации такой структуры. Путем численного решения уравнений Леггетта с учетом зависимости от времени прослежен выход на стационарное решение из заданного начального состояния и, для конкретных значений параметров, проверены аналитически найденные зависимости.

## 2. Стационарное решение

Будем предполагать, и это оправдывается результатом, что пространственный масштаб искомой структуры -  $\lambda$  велик по сравнению с характерной длиной  $l_\omega = v_F/\omega$ , где  $v_F$  - фермиевская скорость. В таких условиях уравнения движения для плотности спина  $S$  и плотности спинового тока  $J_i$  образуют замкнутую систему [6]. Индекс  $i$  нумерует пространственную компоненту спинового тока, жирным шрифтом обозначены векторы в спиновом пространстве. Введем переменные  $\vec{\sigma} = (\gamma^2/\chi)S$  и  $\mathbf{j}_i = (\gamma^2/\chi)J_i$ , где  $\gamma$  - гиромагнитное отношение, а  $\chi$  - магнитная восприимчивость. При таком определении  $\vec{\sigma}$  имеет размерность угловой частоты, а  $\mathbf{j}_i$  - угловой частоты, умноженной на скорость. Ларморовская частота  $\vec{\omega}_L = \gamma H$  может зависеть от координат. Кроме того, введем обозначения  $\omega^2 = v_F^2(1 + F_0^a)(1 + F_1^a/3)$ ,  $\kappa = -(F_0^a - F_1^a/3)/(1 + F_0^a)$  и  $\tau_1 = \tau/(1 + F_1^a/3)$ , где  $F_0^a$  и  $F_1^a$  - две первые гармоники обменной части ферми-жидкостного взаимодействия. В этих обозначениях уравнения движения - уравнения Леггетта имеют вид

$$\frac{\partial \vec{\sigma}}{\partial t} + \frac{\partial \mathbf{j}_i}{\partial x_i} = \vec{\sigma} \times \vec{\omega}_L, \quad (1)$$

$$\frac{\partial \mathbf{j}_i}{\partial t} + \frac{\omega^2}{3} \frac{\partial}{\partial x_i} (\vec{\sigma} - \vec{\omega}_L) = \mathbf{j}_i \times \vec{\omega}_L + \kappa \mathbf{j}_i \times \vec{\sigma} - \frac{\mathbf{j}_i}{\tau_1}. \quad (2)$$

Пусть  $\hat{z}$  - единичный вектор в направлении  $\vec{\omega}_L$ . Для замкнутого объема из уравнения (1) следует сохранение полной проекции спина на направление  $\hat{z}$ :

$$\hat{z} \int \vec{\sigma} dV = \text{const.} \quad (3)$$

Еще один закон сохранения получается комбинацией уравнений (1) и (2):

$$\frac{\partial}{\partial t} \left[ \frac{(\vec{\sigma} - \vec{\omega}_L)^2}{2} + \frac{3 \mathbf{j}_i \cdot \mathbf{j}_i}{2 \omega^2} \right] + \frac{\partial}{\partial x_i} [(\vec{\sigma} - \vec{\omega}_L) \cdot \mathbf{j}_i] = - \frac{3 \mathbf{j}_i \cdot \mathbf{j}_i}{\omega^2 \tau_1}. \quad (4)$$

Под знаком временной производной стоит плотность энергии. Из уравнения (4) следует, что для изолированного объема

$$\frac{d}{dt} \int \left[ \frac{(\vec{\sigma} - \vec{\omega}_L)^2}{2} + \frac{3 \mathbf{j}_i \cdot \mathbf{j}_i}{2 \omega^2} \right] dV = - \frac{3}{\omega^2 \tau_1} \int \mathbf{j}_i \cdot \mathbf{j}_i dV \leq 0. \quad (5)$$

Таким образом, при  $\tau^{-1} \neq 0$  стационарным может быть лишь состояние, в котором токи отсутствуют. Устойчивому состоянию согласно неравенству (5) соответствует минимум энергии при заданном значении полной продольной компоненты спина. Вводя для учета сохранения этой компоненты лагранжев множитель  $\vec{\omega}_p$ , также параллельный  $\hat{z}$ , находим, что минимум достигается при  $\vec{\sigma} = \vec{\omega}_L - \vec{\omega}_p$ .

При  $\tau \rightarrow \infty$  релаксация отсутствует и могут существовать неравновесные стационарные решения системы (1), (2). Будем искать решение уравнений (1),

(2), соответствующее прецессии спина и спинового тока в замкнутом объеме с постоянной во всем объеме частотой  $\vec{\omega}_p$ , то есть такое, для которого в каждой точке  $\partial\vec{\sigma}/\partial t = \vec{\sigma} \times \vec{\omega}_p$  и  $\partial\mathbf{j}_i/\partial t = \mathbf{j}_i \times \vec{\omega}_p$ . Подставим эти равенства в уравнения (1) и (2). Будем считать также, что сосуд, в который заключена жидкость, имеет форму цилиндра с осью, параллельной  $\vec{\omega}_L$ , и что стенки сосуда не пропускают спиновый ток, то есть выполняется граничное условие

$$\mathbf{j}_i n_i = 0, \quad (6)$$

где  $n_i$  – нормаль к стенке. При таких условиях можно искать решение, зависящее только от одной, продольной по отношению к  $\vec{\omega}_L$  координаты –  $z$ . Для такого решения поперечный перенос спина отсутствует, а продольная компонента спинового тока  $\mathbf{j}_3$  и спин  $\vec{\sigma}$  удовлетворяют уравнениям

$$\partial\mathbf{j}_3/\partial z = (\vec{\sigma} - \vec{\omega}_L) \times (\vec{\omega}_L - \vec{\omega}_p), \quad (7)$$

$$\frac{w^2}{3} \frac{\partial(\vec{\sigma} - \vec{\omega}_L)}{\partial z} = \mathbf{j}_3 \times (\vec{\omega}_L - \vec{\omega}_p + \kappa\vec{\sigma}) - \frac{\mathbf{j}_3}{\tau_1}. \quad (8)$$

Для перехода к пределу  $\tau_1 \rightarrow \infty$  представим  $\mathbf{j}_3$  и  $\vec{\sigma}$  в виде разложения по степеням  $\tau_1$ :  $\mathbf{j}_3 = \tau_1 \mathbf{i} + \mathbf{j}_0 + \dots$ , в разложении  $\sigma$  достаточно удержать лишь главный член порядка  $\tau^0$ . Собирая в уравнении (8) члены порядка  $\tau_1$ , находим

$$\mathbf{i} = -\frac{w^2}{3u^2} \mathbf{u} \left( \mathbf{u} \cdot \frac{\partial(\vec{\sigma} - \vec{\omega}_L)}{\partial z} \right), \quad (9)$$

где  $\mathbf{u} = \vec{\omega}_L - \vec{\omega}_p + \kappa\vec{\sigma}$ . Уравнение (7) в главном порядке по  $\tau_1$  имеет вид  $d\mathbf{i}/dz = 0$ . С учетом граничных условий (6) это означает, что также и  $\mathbf{i} = 0$ , то есть ток не содержит растущих с  $\tau_1$  членов. В нулевом порядке по  $\tau_1$  уравнение (8) приводит к следующему выражению для тока:

$$\mathbf{j}_3 = \frac{w^2}{3u^2} \mathbf{u} \cdot \frac{\partial(\vec{\sigma} - \vec{\omega}_L)}{\partial z}. \quad (10)$$

Используя условие  $(\mathbf{j}_3 \times \vec{\omega}_p) = 0$ , убеждаемся, что производная  $\partial\vec{\sigma}/\partial z$  лежит в плоскости  $\omega_L \sigma$ , а стало быть, в системе координат, вращающейся с частотой  $\vec{\omega}_p$  спин  $\vec{\sigma}$  изменяется, оставаясь в одной плоскости. Пусть это будет плоскость  $yz$  и пусть  $\theta$  – угол между  $\vec{\sigma}$  и осью  $z$ . Вектор  $\vec{\sigma}$  имеет тогда следующие координаты:  $(0, \sigma \sin \theta, \sigma \cos \theta)$ . Ток имеет одну отличную от нуля компоненту

$$j_3^x = -\frac{w^2}{3u^2} [(\vec{\sigma} \cdot \mathbf{u}) \frac{d\theta}{dz} + \kappa \sigma \sin \theta \frac{d\omega_L}{dz} + (\omega_L - \omega_p) \sin \theta \frac{d\sigma}{dz}]. \quad (11)$$

Таким образом, ток и плотность спина полностью определяются двумя функциями  $\sigma(z)$  и  $\theta(z)$ . Для их определения имеются два уравнения. Одно получается приравниванием нулю выражения (9) для тока  $\mathbf{i}$ , другое – подстановкой выражения (11) в уравнение (7). Рассмотрим наиболее интересный случай, когда ферми-жидкостное взаимодействие доминирует, то есть  $|\kappa\sigma| \gg |\omega_L - \omega_p|$ . Для спинового тока в этом пределе получается простое выражение  $j_3^x = -(\omega^2/3\kappa)(d\theta/dz)$ . Подставляя его в уравнение (8) и учитывая, что  $\omega_L - \omega_p = (d\omega_L/dz)(z - z_0)$ , где  $z_0$  определено условием  $\omega_L(z_0) = \omega_p$ , имеем:

$$\frac{d^2\theta}{dz^2} = -\frac{1}{\lambda^3} (z - z_0) \sin \theta. \quad (12)$$

Комбинация параметров  $\lambda = \{w^2[3\kappa\sigma(d\omega_L/dz)]^{-1}\}^{1/3}$  играет здесь роль характерной длины. Уравнение, определяющее пространственное изменение  $\sigma$  в этом же приближении имеет следующий вид:

$$\frac{d\sigma}{dz} = \frac{d\omega}{dz} \left[ \cos \theta - \frac{1}{\kappa} (z - z_0) \frac{d \cos \theta}{dz} \right]. \quad (13)$$

Граничным условием к уравнениям (12) и (13) служит требование исчезновения тока на верхней и нижней стенках сосуда. Если доменная стенка находится на расстояниях от этих стенок, намного превышающих  $\lambda$ , то можно заменить условие на стенках условием на бесконечности, то есть считать что  $d\theta/dz \rightarrow 0$  при  $z \rightarrow \pm\infty$ . Решение уравнения (12), удовлетворяющее этим условиям, изображено на рис.1, оно имеет вид двух доменов, разделенных стенкой с толщиной порядка  $\lambda$ . Ориентация равновесного домена по отношению к  $d\omega_L/dz$  при  $\kappa > 0$  противоположна той, которая наблюдалась в  $^3\text{He-B}$  [1]. В силу предположения о малости  $d\omega_L/dz$  мало изменяется и величина  $\sigma$ . Из уравнения (13) легко найти асимптотическое поведение  $\sigma$  вдали от стенки:  $\sigma \approx \sigma_0 \pm [\omega_p - \omega_L(z)]$  при  $(z - z_0) \rightarrow \pm\infty$ , постоянная  $\sigma_0$  определяется начальными условиями.

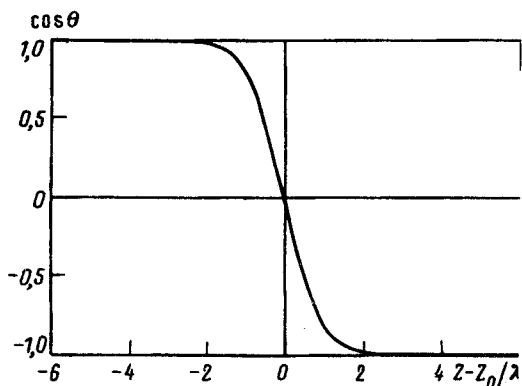


Рис.1

### 3. Устойчивость и релаксация двухдоменной структуры

Найденное в разд.2 стационарное решение определяется заданием двух интегралов движения – продольной компоненты спина и энергией. Вместо них удобно использовать соответственно частоту прецессии  $\omega_p$  и постоянную  $\sigma_0$ , определяющую асимптотики  $\sigma$ . При больших, но конечных  $\tau$ , частота  $\omega_p$  остается постоянной, а  $\sigma_0$  начинает зависеть от времени. Эту зависимость можно найти, подставив стационарное решение в обе части уравнения (5). Если высота камеры  $L$  велика по сравнению с  $\lambda$ , то в выражении для энергии можно пренебречь членами порядка  $\lambda/L$ , и в результате подстановки получается следующее уравнение:

$$\frac{d}{dt} [\sigma_0(t)]^{5/3} = - \frac{w^{4/3} (\nabla \omega_L)^{1/3}}{3^{2/3} \tau_1 \kappa^{5/3}} J, \quad (14)$$

где

$$J = \lambda \int_{-\infty}^{+\infty} \left( \frac{d\theta}{dz} \right)^2 dz \cong 2, 3.$$

Согласно формуле (14),  $\sigma_0^{5/3}$  линейно уменьшается со временем и обращается в нуль за конечное время  $t_f$ , зависящее от начального значения  $\sigma_0(0)$ :

$$t_f = \frac{\tau_1}{5J} \left( \frac{3\kappa\sigma_0(0)}{w} L \right)^{4/3} \left( \frac{3\kappa\sigma_0(0)}{L\nabla\omega_L} \right)^{1/3}.$$

Для реальных условий экспериментов  $\sigma_0(0) \cong \omega_L$ , при этом  $t_f$  содержит два больших множителя:  $(L/l_w)^{4/3}$  и  $(\kappa\omega_L/L\nabla\omega_L)^{1/3}$ . Следует, однако, иметь в виду, что при  $|\kappa\sigma| \simeq |\omega_L - \omega_p|$  нарушается условие применимости полученных формул, поэтому выражение для  $t_f$  следует рассматривать как оценочное. В ходе релаксации с уменьшением  $\sigma$  медленно (как  $\sigma^{-1/3}$ ) увеличивается толщина доменной стенки.

При учете поверхностной релаксации доменная стенка будет двигаться, увеличивая со временем равновесный домен. При  $\kappa > 0$  движение стенки будет приводить к увеличению со временем частоты прецессии. Отметим, что время затухания сигнала индукции определяется объемной релаксацией, а изменение со временем частоты прецессии – поверхностной, что в принципе позволяет экспериментально разделить эти два типа релаксации.

Для проверки устойчивости уравнения Леггетта решались численно. Рассматривалась эволюция намагниченности в камере при разных начальных условиях в предположении, что все величины зависят лишь от одной пространственной координаты – вдоль магнитного поля. На рис.2 показан типичный пример изменения со временем сигнала индукции при эволюции из состояния, которое получается при пространственно однородном отклонении намагниченности от равновесного направления на угол  $\pi/2$ . Симуляция производилась для реалистических экспериментальных условий для 6%-ного раствора  $^3\text{He}$  в  $^4\text{He}$ . После затухания начальных колебаний наблюдается монотонный спад сигнала индукции. Для сравнения была рассчитана эволюция из начального состояния, которое было бы стационарным при бесконечном  $\tau$ , в этом случае колебания практически отсутствуют. Путем сдвига по времени конечные участки обеих зависимостей могут быть совмещены, как и следует ожидать, если система со временем стремится к (квази)стационарному состоянию. Были испробованы в качестве начальных и другие, близкие к стационарному, состояния. После затухания начальных колебаний они также выходили на монотонное затухание, соответствующее квазистационарному состоянию. Эти вычисления, хотя они и не являются строгим доказательством, не оставляют серьезных сомнений в устойчивости стационарного решения.

#### 4. Обсуждение результатов

Приведенные вычисления показывают, что интерпретация результатов исследования чистого  $^3\text{He}$  и растворов  $^3\text{He}$  в  $^4\text{He}$  методом ЯМР в бесстолкновительной области должна производиться с учетом геометрии ячейки и возможности образования неоднородной структуры. Дальнейшее исследование самой структуры представляет и самостоятельный интерес. Из-за большого времени жизни прецессирующая структура может стать весьма чувствитель-

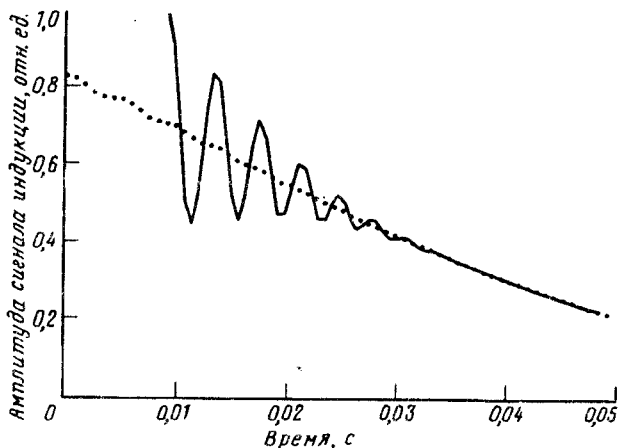


Рис.2. Численная симуляция временной эволюции сигнала индукции для двух различных начальных условий: сплошная линия — намагниченность отклонена на угол  $\pi/2$  от равновесной ориентации, пунктир — в качестве начального условия использовано стационарное (при  $\tau \rightarrow \infty$ ) решение. В обоих случаях симуляция производилась при следующих значениях параметров: длина ячейки  $L = 0,4$  см, поле  $H = 284$  Э, градиент поля  $0,3$  Э/см, температура  $T = 0,7$  мК

ным инструментом исследования магнитной релаксации и других свойств нормальных ферми-жидкостей при сверхнизких температурах. Растворы остаются нормальными при самых низких достигнутых температурах, и при  $1$  мК с рассмотренными здесь эффектами следует считать уже при полях  $\sim 100$  Э. В чистом  ${}^3\text{He}$  область существования нормальной фазы ограничена снизу температурой сверхтекучего перехода, поэтому рассмотренные эффекты становятся существенными в нормальном  ${}^3\text{He}$  лишь при полях порядка  $1$  Т.

Ферми-жидкостное взаимодействие оказывает влияние на спиновый ток также и в сверхтекучих фазах  ${}^3\text{He}$ , а условие  $\omega\tau \gg 1$  здесь выполняется при меньших полях, чем в нормальной фазе. Полученные здесь формулы не могут быть буквально применены к сверхтекучему  ${}^3\text{He}$ , тем не менее можно ожидать, что и здесь в бесстолкновительной области будет возникать прецессирующая структура, аналогичная рассмотренной в настоящей статье и отличная от той, которая наблюдалась ранее в гидродинамической области [1, 2]. Такая структура могла бы служить объяснением обнаруженного недавно в  ${}^3\text{He-B}$  при температуре  $\approx 0,1$  мК долгоживущего сигнала индукции [9]. Для того, чтобы сделать определенные выводы, требуется, однако, найти соответствующее решение уравнений спиновой динамики для  ${}^3\text{He-B}$ .

Мы благодарны С.Р.Заказову и Е.Р.Подольку за полезные обсуждения и помощь при составлении компьютерной программы.

Эта работа была выполнена частично благодаря гранту Фонда Сороса, присужденному Американским Физическим Обществом одному из авторов (В.Д.).

1. А.С.Боровик-Романов, Ю.М.Буньков, В.В.Дмигриев, Ю.М.Мухарский, Письма в ЖЭТФ **40**, 256 (1984).
2. И.А.Фомин, Письма в ЖЭТФ **40**, 260 (1984).
3. G.Nunes,Jr., C.Jin, D.L.Hawthorne et al., Phys. Rev. **B46**, 9082 (1992).
4. В.П.Силин, ЖЭТФ **33**, 1227 (1957).
5. A.J.Legget and M.J.Rice, Phys. Rev. Lett. **20**, 586 (1968).
6. A.J.Leggett, J. Phys. C **3**, 448 (1970).
7. D.Einzel, G.Eska, Y.Hirayoshi et al., Phys. Rev. Lett. **53**, 2312 (1984).
8. H.Akimoto, O.Ishikawa, Cong-Hun Oh et al., J. Low. Temo. Phys. **82**, 295 (1991).
9. Yu.M.Bunkov, S.N.Fisher, A.M.Guénalt, and G.R.Pickett, Phys. Rev. Lett. **69**, 3092 (1992).